

Fiche TD avec le logiciel  : tdr641

Analyse de co-inertie sur données simulées et sur données protéomiques

J.R. Lobry

Pratique de l'analyse de co-inertie sur un jeu de données simulées et sur un vrai jeu de données concernant la composition du protéome de *Escherichia coli* et les propriétés physico-chimiques des 20 acides aminés.

Table des matières

1	Introduction	2
2	Données simulées	3
2.1	Premier tableau	3
2.2	Deuxième tableau	6
2.3	Couplage des deux tableaux	8
3	Données protéomiques	10
3.1	Premier tableau	10
3.2	Deuxième tableau	14
3.3	Couplage des deux tableaux	16
	Références	19

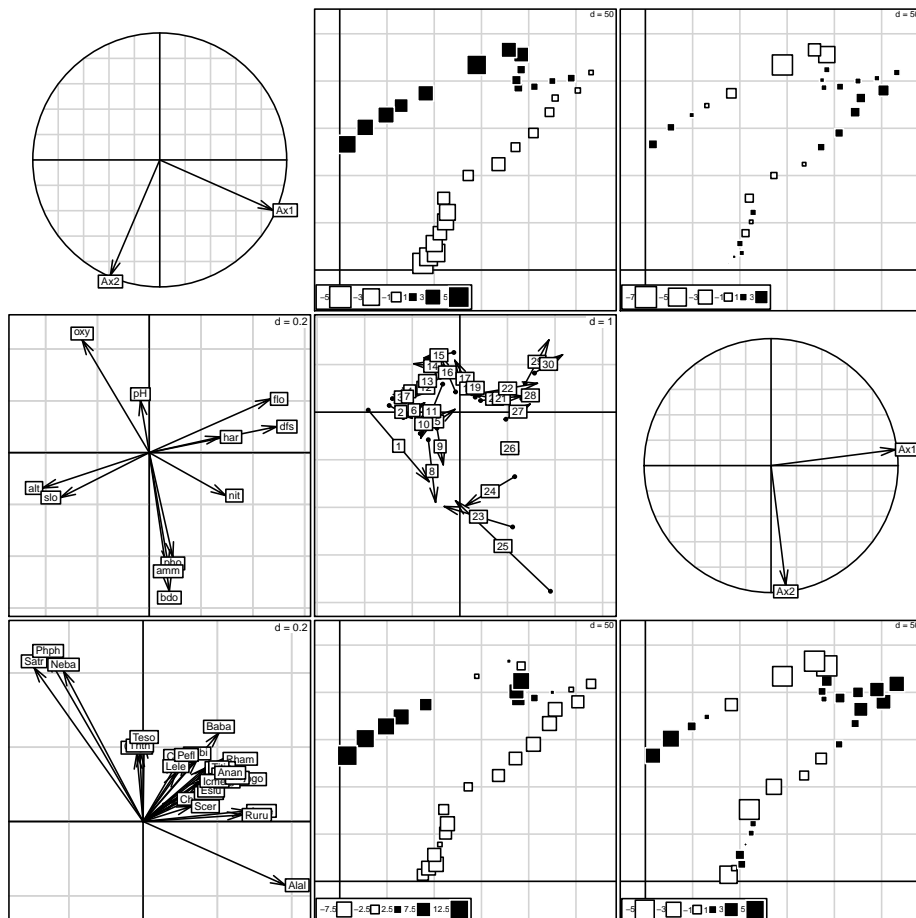
1 Introduction


L'analyse de co-inertie est une méthode de couplage entre deux tableaux [2, 11, 3, 4]. Cette méthode est disponible dans le paquet `ade4` [1] sous le nom de `coinertia()`. Commencez par vérifier que vous êtes capables de reproduire l'exemple de la fonction (`?coinertia`) basé sur le jeu de données `doubs` [12].

```
library(ade4)
data(doubs)
pca1 <- dudi.pca(doubs$env, scan = FALSE)
pca2 <- dudi.pca(doubs$fish, scale = FALSE, scan = FALSE)
coiner1 <- coinertia(pca1, pca2, scan = FALSE)
```

Faire les représentations graphiques en utilisant uniquement les fonctions du paquet `ade4` :

```
par(mfrow = c(3, 3))
s.corcircle(coiner1$aX)
s.value(doubs$xy, coiner1$lX[, 1])
s.value(doubs$xy, coiner1$lX[, 2])
s.arrow(coiner1$c1)
s.match(coiner1$mX, coiner1$mY)
s.corcircle(coiner1$aY)
s.arrow(coiner1$l1)
s.value(doubs$xy, coiner1$lY[, 1])
s.value(doubs$xy, coiner1$lY[, 2])
```



Si vous êtes arrivés à reproduire ces exemples c'est que vous avez tous les outils nécessaires pour faire une analyse de co-inertie dans .

2 Données simulées

Il nous faut deux tableaux. Le premier est repris de la fiche « L'effet arc-en-ciel »¹, le deuxième est spécifique de cette fiche. On commence par faire l'analyse séparée de chaque tableau.

2.1 Premier tableau

Le premier tableau est une simulation des abondances d'espèces dans plusieurs stations réparties régulièrement le long d'un gradient de température. On suppose que les abondances des espèces sont données par le modèle dit des températures cardinales [8].

```
CTMI <- function(T, param)
{
  Tmin <- param[1]
  Topt <- param[2]
  Tmax <- param[3]
  Muopt <- param[4]
  if( T <= Tmin || T >= Tmax )
  {
    return(0)
  }
  else
  {
    Num <- (T-Tmax)*(T-Tmin)^2
    Den <- (Topt-Tmin)*((Topt-Tmin)*(T-Topt)-(Topt-Tmax)*(Topt+Tmin-2*T))
    return(Muopt*Num/Den)
  }
}
```

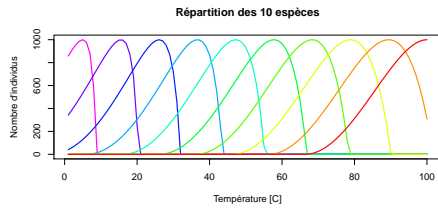
On suppose qu'il y a 16 stations réparties régulièrement sur le gradient de température :

```
Tstations <- seq(from = 5, to = 80, by = 5)
Tstations
[1] 5 10 15 20 25 30 35 40 45 50 55 60 65 70 75 80
```

On suppose qu'il y a en tout 10 espèces observées :

```
nsp <- 10
topt <- seq(from = 5, to = 100, length = nsp)
tmin <- 0.953*topt - 28.913
tmax <- 1.101*topt + 3.203
data <- data.frame(matrix(nrow = nsp, ncol = length(Tstations)))
names(data) <- paste("st",1:length(Tstations), sep = "")
row.names(data) <- paste("sp", round(topt, 0), sep = "")
for( i in 1:nsp )
  for( j in 1:length(Tstations))
    data[i, j] <- round(CTMI(T = Tstations[j], param = c(tmin[i], topt[i],
      tmax[i], 1000)), 0)
Taxis <- 1:100
cols <- rev(rainbow(nsp, end = 5/6))
plot(x = Taxis, y = sapply(Taxis, CTMI, param = c(tmin[1], topt[1], tmax[1], 1000)),
  type = "l", col = cols[1], main = paste("Répartition des", nsp, "espèces"),
  xlab = "Température [C]", ylab = "Nombre d'individus", lwd = 2)
for( i in 2:nsp )
  lines(x = Taxis, y = sapply(Taxis, CTMI, param = c(tmin[i], topt[i], tmax[i], 1000)),
    col = cols[i], lwd = 2)
```

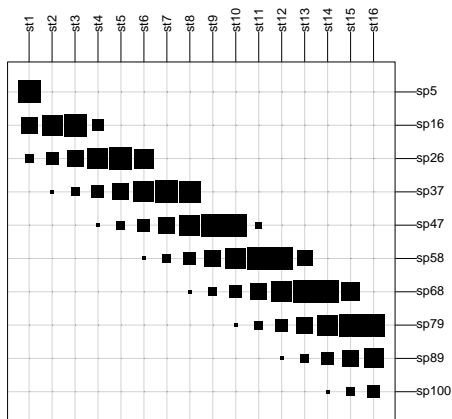
1. <http://pbil.univ-lyon1.fr/R/fichestd/tdr622.pdf>



La structure des données est donc très simple : on a une succession des espèces le long du gradient :

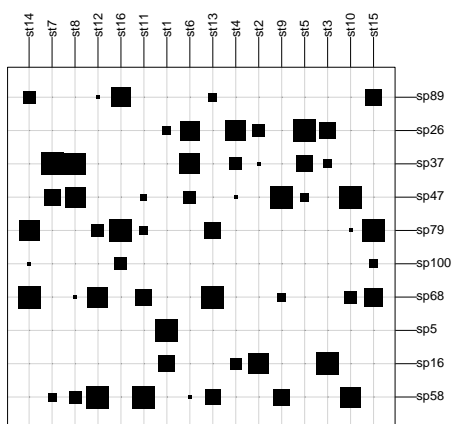
```
head(data[ , 1:10])
      st1 st2 st3 st4 st5 st6 st7 st8 st9 st10
sp5   1000  0  0  0  0  0  0  0  0  0
sp16  533  799  996  248  0  0  0  0  0  0
sp26  129  303  534  793  989  719  0  0  0  0
sp37   0  26  130  305  535  786  980  865  0  0
sp47   0  0  0  26  131  307  535  780  971  931
sp58   0  0  0  0  0  26  133  309  534  773

table.value(data, clegend = 0)
```



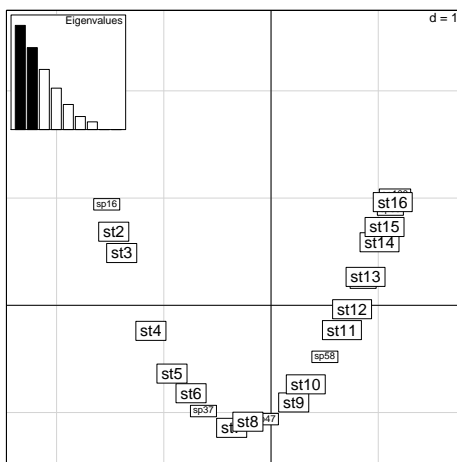
Mais dans la vraie vie nous ne connaissons pas encore l'ordre des espèces et des stations qui met en évidence la structure des données. Nos données ressembleraient plutôt à ceci :

```
data.vv <- data[sample(nrow(data)), sample(ncol(data))]
table.value(data.vv, clegend = 0)
```



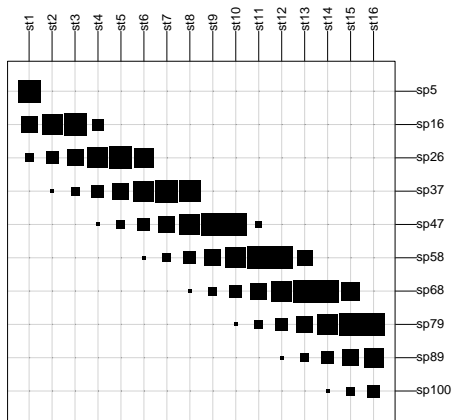
C'est nettement moins parlant. Heureusement, le premier plan de l'AFC donne un effet Guttman :

```
afc <- dudi.coa(data.vv, scann = FALSE)
scatter(afc)
```



Ceci nous permet de ré-ordonner le tableau pour mettre en évidence le gradient :

```
data.vv.ord <- data.vv[order(afc$li[, 1]), order(afc$co[, 1])]
table.value(data.vv.ord, clegend = 0)
```



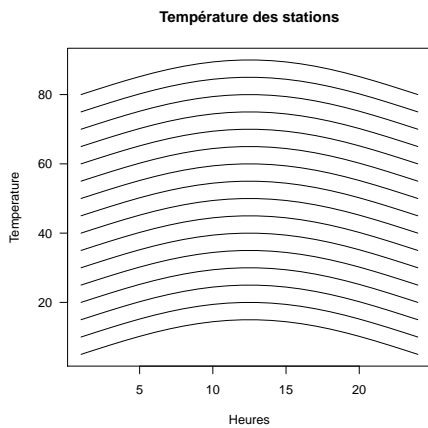
2.2 Deuxième tableau

On suppose que l'on a mesuré la température des stations toutes les heures pendant une journée :

```

mesureT <- sapply(Tstations, function(x){10*sin(seq(0, pi, le = 24)) + x})
colnames(mesureT) <- paste("st",1:16,sep="")
rownames(mesureT)<-paste("h",1:24,sep="")
plot(0, type = "n", xlim = c(1,24), ylim = range(mesureT), xlab = "Heures", ylab = "Temperature",
las = 1, main = "Température des stations")
apply(mesureT,2,lines)

```



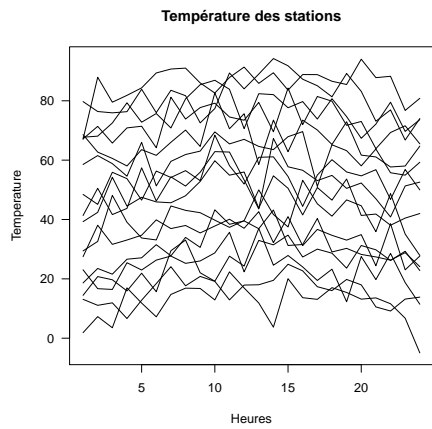
On ajoute un bruit gaussien pour plus de réalisme.

```

set.seed(1)
mesureT <- sapply(Tstations, function(x){10*sin(seq(0, pi,le = 24)) + x +
rnorm(n = 24, sd = 5)})
colnames(mesureT) <- paste("st", 1:16, sep = "")
rownames(mesureT) <-paste("h", 1:24, sep = "")
plot(0, type = "n", xlim = c(1,24), ylim = range(mesureT), xlab = "Heures",
ylab = "Temperature", las = 1, main = "Température des stations")
apply(mesureT,2,lines)

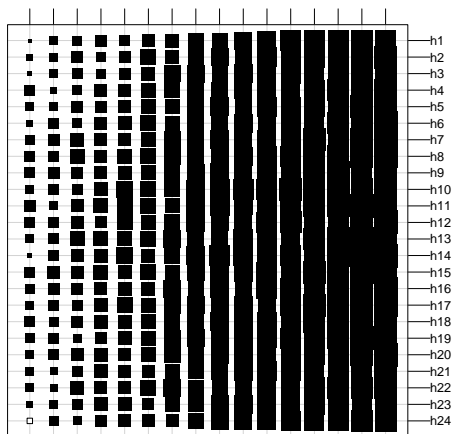
```

NULL



La structure du jeu de données est donc très simple : on a un gradient des stations froides aux stations chaudes avec une petite composante circadienne difficile à voir directement vu l'intensité de bruit introduite ici :

```
table.value(mesureT, clegend = 0)
```



Faire l'ACP du tableau :

```
acp <- dudi.pca(t(mesureT), scan=F)  
scatter(acp)
```



```
tab1 <- as.data.frame(t(data))
tab2 <- as.data.frame(t(mesureT))
```

Mais encore faut il que l'ordre des individus soit le même dans les deux tableaux. C'est un point qu'il est prudent de vérifier pour ne pas avoir de mauvaises surprises par la suite.

```
rownames(tab1)
[1] "st1" "st2" "st3" "st4" "st5" "st6" "st7" "st8" "st9" "st10" "st11"
[12] "st12" "st13" "st14" "st15" "st16"
rownames(tab2)
[1] "st1" "st2" "st3" "st4" "st5" "st6" "st7" "st8" "st9" "st10" "st11"
[12] "st12" "st13" "st14" "st15" "st16"
all.equal(rownames(tab1),rownames(tab2))
[1] TRUE
```

Pour que le couplage ait un sens il faut que la pondération des individus soit la même dans les deux analyses. On décide d'utiliser ici la pondération de l'AFC :

```
coa <- dudi.coa(df = tab1, scannf = FALSE, nf = 2)
pca <- dudi.pca(df = tab2, row.w = coa$lw, scannf = FALSE, nf = 2)
```

Vérifier que la même pondération a bien été utilisée dans les deux analyses :

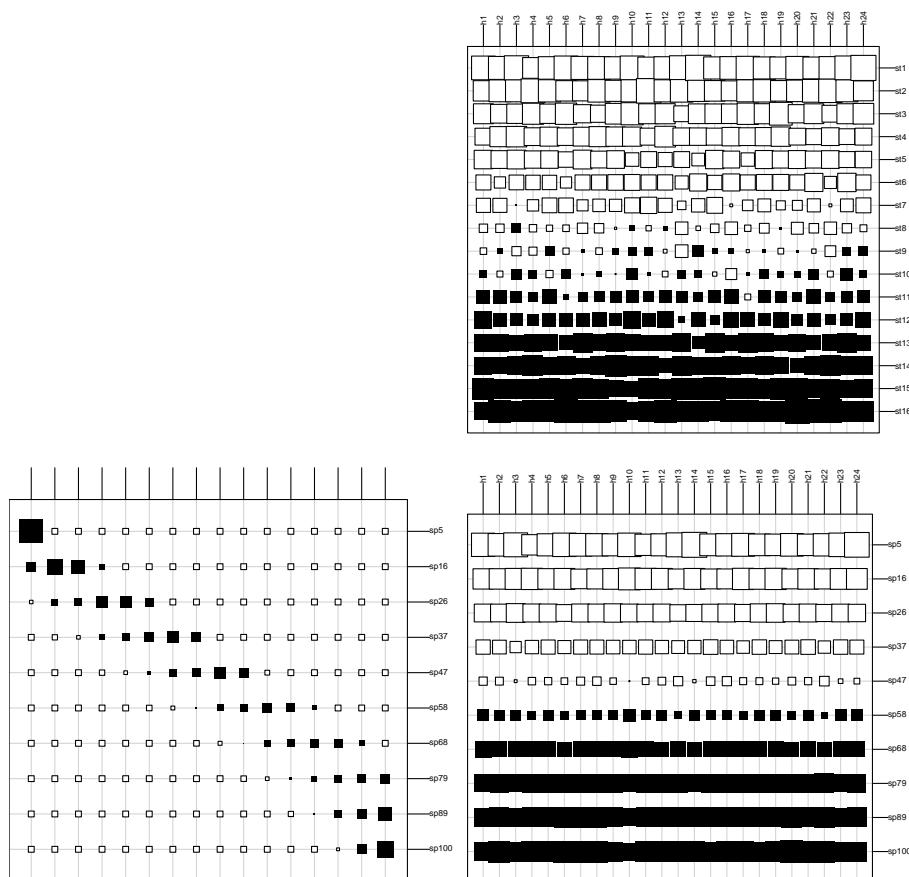
```
all.equal(pca$lw,coa$lw)
[1] TRUE
```

On peut alors utiliser l'analyse de co-inertie pour coupler les deux tableaux :

```
cia <- coinertia(dudiX = pca, dudiY = coa, scannf = FALSE, nf = 2)
cia$eig[1]/sum(cia$eig)
[1] 0.993294
```

Le premier facteur extrait 99.33 % de la variabilité, nous avons redécouvert ici le gradient thermique commun aux deux tableaux. Représenter graphiquement les trois tableaux analysés ici :

```
plot.new()
par(mfrow = c(2, 2))
par(mfg = c(1, 2))
table.value(pca$tab, clegend = 0, clabel.row = 0.7, clabel.col = 0.7)
par(mfg = c(2, 1))
table.value(t(coa$tab), clegend = 0, clabel.row = 0.7, clabel.col = 0.5)
par(mfg = c(2, 2))
table.value(cia$tab, clegend = 0, clabel.row = 0.7, clabel.col = 0.7)
```



3 Données protéomiques

Il s'agit ici de reproduire les résultats de [9], une version PDF de l'article est disponible à <http://pbil.univ-lyon1.fr/JTHome/Biblio/Cabios95.pdf>.

3.1 Premier tableau

Le premier tableau contient les fréquences absolues des acides aminés dans un échantillon des protéines de *Escherichia coli*. C'est ce jeu de données qui avait été utilisé dans l'article [6] disponible à <http://nar.oxfordjournals.org/cgi/content/abstract/22/15/3174>. Importer les données sous R :

```
ProtComp <- read.table("http://pbil.univ-lyon1.fr/members/lobry/repro/cabios95/ProtComp",
  sep = "\t", header = FALSE)
dim(ProtComp)
[1] 999 20
```

Le nom des acides-aminés est donné dans le fichier AANames, le nom des protéines dans le fichier ProtNames, les utiliser pour donner un nom aux lignes et aux colonnes de l'objet ProtComp :

```

AANames <- readLines("http://pbil.univ-lyon1.fr/members/lobry/repro/cabios95/AANames")
ProtNames <- readLines("http://pbil.univ-lyon1.fr/members/lobry/repro/cabios95/ProtNames")
names(ProtComp) <- AANames
rownames(ProtComp) <- ProtNames
head(ProtComp)

```

	ala	arg	asn	asp	cys	gln	glu	gly	his	ile	leu	lys	met	phe	pro	ser	thr
ECFOLE.FOLE	19	13	9	12	2	9	13	9	10	15	23	11	8	7	8	14	19
ECMSBAG.MSBA	48	38	21	30	2	25	28	38	9	47	60	23	26	23	13	50	36
ECNARZYW-C.NARV	12	15	4	5	3	9	3	20	5	18	29	3	12	18	8	15	13
ECNARZYW-C.NARW	21	13	6	21	4	14	20	11	3	6	38	9	4	6	10	13	7
ECNARZYW-C.NARY	32	34	20	29	18	15	43	41	11	31	33	27	19	17	31	26	20
ECNARZYW-C.NARZ	89	71	55	72	17	50	70	102	36	62	104	56	36	36	75	87	67

```

trp tyr val
ECFOLE.FOLE      0  4 18
ECMSBAG.MSBA     5 13 47
ECNARZYW-C.NARV  8 11 15
ECNARZYW-C.NARW  4  8 13
ECNARZYW-C.NARY 11 23 33
ECNARZYW-C.NARZ 40 50 71

```

Transposer le tableau de façon à avoir les acides aminés en ligne :

```

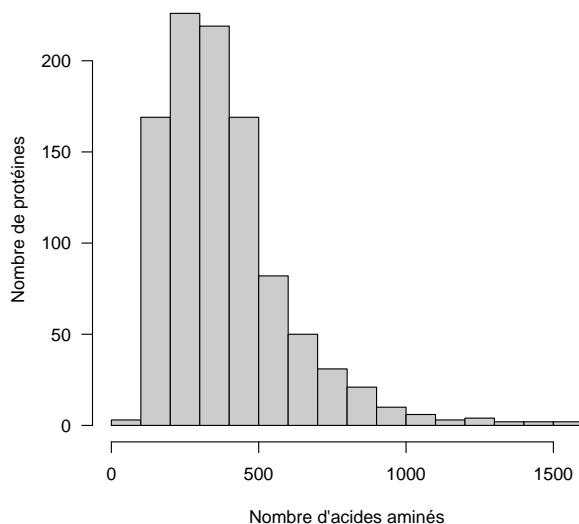
ProtComp <- as.data.frame(t(ProtComp))
ProtComp[1:5,1:5]

```

	ECFOLE.FOLE	ECMSBAG.MSBA	ECNARZYW-C.NARV	ECNARZYW-C.NARW	ECNARZYW-C.NARY
ala	19	48	12	21	32
arg	13	38	15	13	34
asn	9	21	4	6	20
asp	12	30	5	21	29
cys	2	2	3	4	18

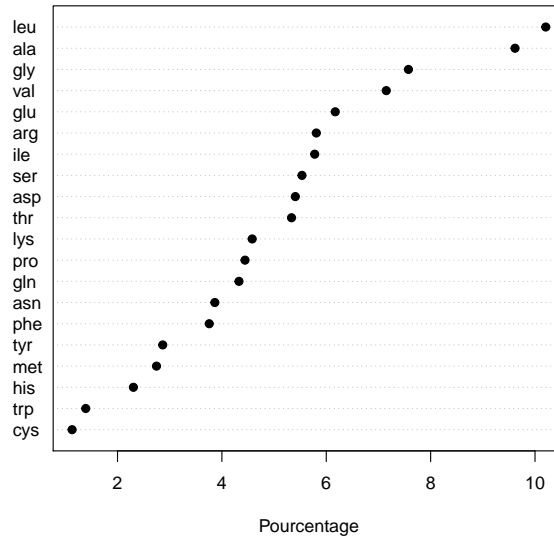
Représenter graphiquement la distribution de la taille des protéines :

Distribution de la taille des protéines



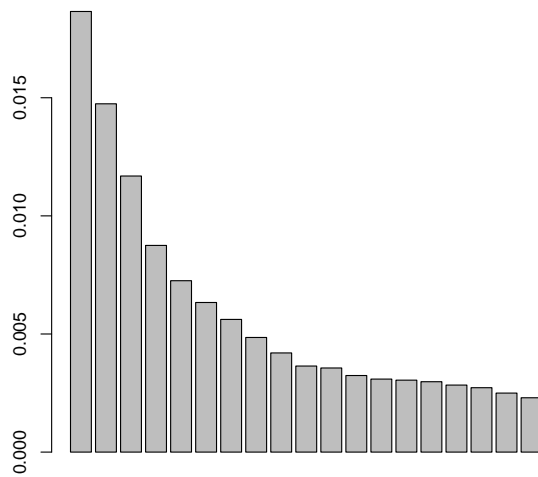
Représenter graphiquement les fréquences des acide-aminés dans les protéines :

Fréquence des acides aminés

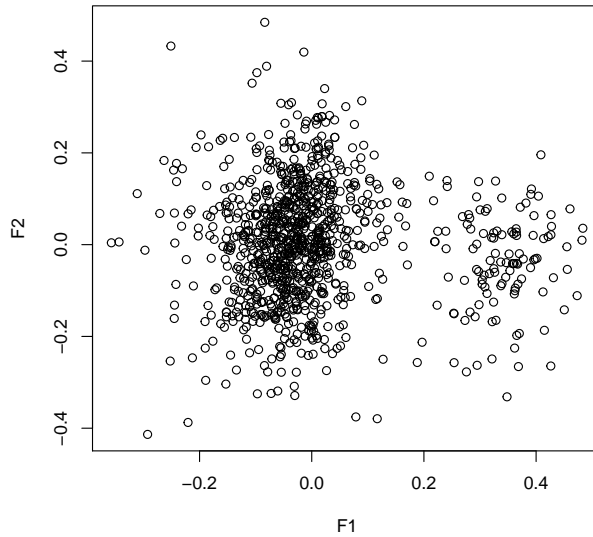


Faire l'AFC du tableau et représenter le graphe des valeurs propres :

```
coa <- dudi.coa(df = ProtComp, scannf = FALSE, nf = 2)
barplot(coa$eig)
```



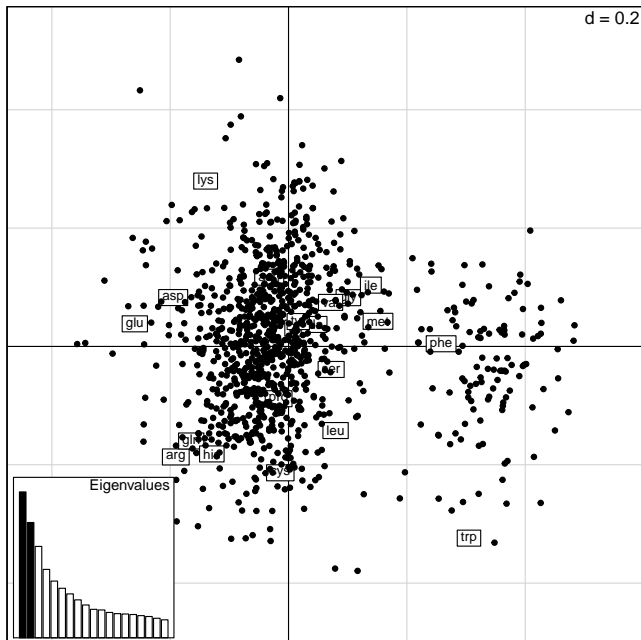
Représenter les protéines sur le premier plan factoriel :



Quelle structure dans les données le premier facteur de l'AFC a-t-il mis en évidence ?

Représentez maintenant simultanément les protéines et les acides aminés sur le premier plan factoriel :

```
scatter(coa, clab.col=0, posieig = "bottomleft")
```



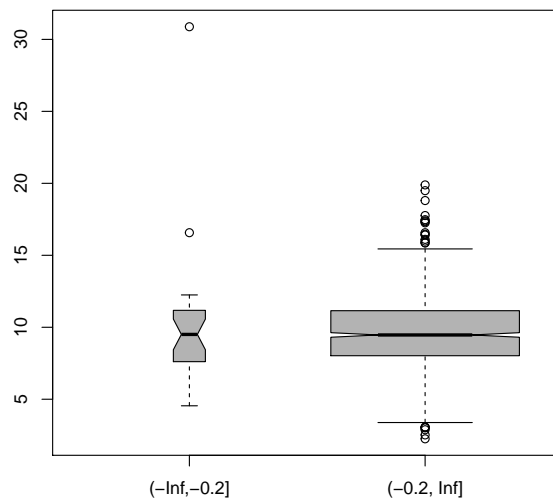
Qu'est ce qui caractérise les deux groupes de protéines en terme de composition en acides aminés ?

Utilisez la fonction `cut()` pour transformer les valeurs sur le premier facteur en une variable qualitative :

```
gprot <- cut(x = coa$co[,1], breaks = c(-Inf,-0.2,+Inf))
summary(gprot)
(-Inf,-0.2] (-0.2, Inf]
      28      971
```

Revenir aux données de départ. Etudier comment les deux groupes de caractérisent pour leur fréquences en acides aminés. Par exemple pour l'alanine :

```
ProtFreq <- 100*apply(ProtComp, 2, function(x) x/sum(x))
ala <- ProtFreq["ala",]
boxplot(ProtFreq["ala",]-gprot, notch = TRUE, varwidth = TRUE, col = grey(0.7))
```



Faire la même chose pour tous les acides-aminés en examinant à chaque fois le premier plan factoriel de l'AFC pour voir si les résultats sont cohérents.

3.2 Deuxième tableau

Le deuxième tableau contient 402 propriétés physico-chimiques pour les 20 acides-aminés. Ces données sont extraites de `aaindex` [5, 10, 7]. Importer les données sous `R` :

```
IndiceVals <- read.table("http://pbil.univ-lyon1.fr/members/lobry/repro/cabios95/IndiceVals",
  sep = "\t", header = FALSE)
dim(IndiceVals)
[1] 402 20
```

Comme pour le premier fichier, le nom des acides-aminés est donné dans le fichier `AANames` que nous avons déjà importé sous `R`, le nom des propriétés physico-chimiques est dans le fichier `IndiceNames`, les utiliser pour donner un nom aux lignes et aux colonnes de l'objet `IndiceVals` :

```

names(IndiceVals) <- AANames
IndiceNames <- readLines("http://pbil.univ-lyon1.fr/members/lobry/repro/cabios95/IndiceNames")
rownames(IndiceVals) <- IndiceNames
head(IndiceVals)

```

	ala	arg	asn	asp	cys	gln	glu	gly	his	ile	leu	lys	met	phe
ANDN920101	4.35	4.38	4.75	4.76	4.65	4.37	4.29	3.97	4.63	3.95	4.17	4.36	4.52	4.66
ARGP820101	0.61	0.60	0.06	0.46	1.07	0.00	0.47	0.07	0.61	2.22	1.53	1.15	1.18	2.02
ARGP820102	1.18	0.20	0.23	0.05	1.89	0.72	0.11	0.49	0.31	1.45	3.23	0.06	2.67	1.96
ARGP820103	1.56	0.45	0.27	0.14	1.23	0.51	0.23	0.62	0.29	1.67	2.93	0.15	2.96	2.03
BEGF750101	1.00	0.52	0.35	0.44	0.06	0.44	0.73	0.35	0.60	0.73	1.00	0.60	1.00	0.60
BEGF750102	0.77	0.72	0.55	0.65	0.65	0.72	0.55	0.65	0.83	0.98	0.83	0.55	0.98	0.98
	pro	ser	thr	trp	tyr	val								
ANDN920101	4.44	4.50	4.35	4.70	4.60	3.95								
ARGP820101	1.95	0.05	0.05	2.65	1.88	1.32								
ARGP820102	0.76	0.97	0.84	0.77	0.39	1.08								
ARGP820103	0.76	0.81	0.91	1.08	0.68	1.14								
BEGF750101	0.06	0.35	0.44	0.73	0.44	0.82								
BEGF750102	0.55	0.55	0.83	0.77	0.83	0.98								


Transposer le tableau pour avoir les acides aminés en ligne comme précédemment :

```

IndiceVals <- as.data.frame(t(IndiceVals))
IndiceVals[1:5,1:5]

```

	ANDN920101	ARGP820101	ARGP820102	ARGP820103	BEGF750101
ala	4.35	0.61	1.18	1.56	1.00
arg	4.38	0.60	0.20	0.45	0.52
asn	4.75	0.06	0.23	0.27	0.35
asp	4.76	0.46	0.05	0.14	0.44
cys	4.65	1.07	1.89	1.23	0.06

La signification des indices physico-chimiques est accessible sous  via le jeu de données `aaindex` du package `seqinr`, par exemple pour connaître la signification de l'indice ANDN920101 :

```

library(seqinr)
data(aaindex)
aaindex[["ANDN920101"]]

```

```

$H
[1] "ANDN920101"
$D
[1] "alpha-CH chemical shifts (Andersen et al., 1992)"
$R
[1] "LIT:1810048b PMID:1575719"
$A
[1] "Andersen, N.H., Cao, B. and Chen, C."
$T
[1] "Peptide/protein structure analysis using the chemical shift index method: upfield alpha-CH values reveal d
$J
[1] "Biochem. and Biophys. Res. Comm. 184, 1008-1014 (1992)"
$C
[1] "BUNA790102 0.949"
$I
Ala Arg Asn Asp Cys Gln Glu Gly His Ile Leu Lys Met Phe Pro Ser Thr
4.35 4.38 4.75 4.76 4.65 4.37 4.29 3.97 4.63 3.95 4.17 4.36 4.52 4.66 4.44 4.50 4.35
Trp Tyr Val
4.70 4.60 3.95

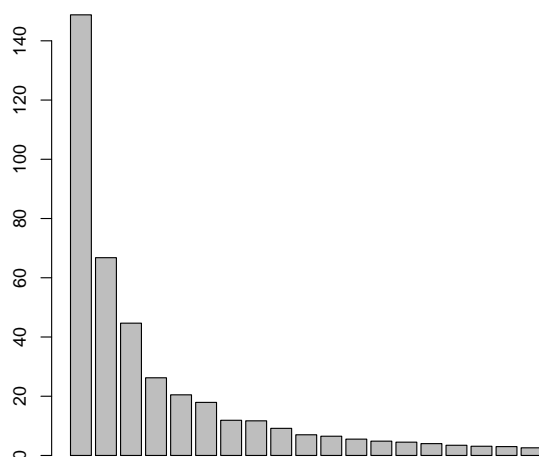
```

Faire l'ACP du tableau en utilisant la même pondération pour les lignes, c'est à dire pour les acides aminés, que pour le premier tableau. Tracer le graphe des valeurs propres :

```

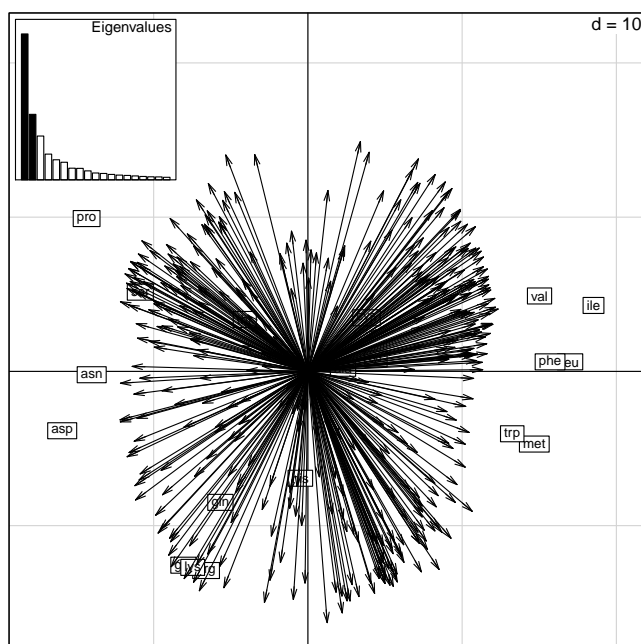
pca <- dudi.pca(df = IndiceVals, row.w = coa$lw, scannf = FALSE, nf = 2)
barplot(pca$eig)

```




Représenter le premier plan factoriel :

```
scatter(pca, clab.col=0)
```



3.3 Couplage des deux tableaux

Avant de vous lancer dans l'analyse de co-inertie, vérifiez que les conditions d'utilisation sont bien remplies. Donner le code  permettant de répondre aux questions suivantes :

1. Les individus communs aux deux tableaux sont-ils bien en ligne dans les deux tableaux ?

```
[1] 20 402
[1] 20 999
[1] TRUE
```

2. Les individus communs aux deux tableaux sont-ils bien dans le même ordre dans les deux tableaux ?

```
[1] "ala" "arg" "asn" "asp" "cys" "gln" "glu" "gly" "his" "ile" "leu" "lys" "met"
[14] "phe" "pro" "ser" "thr" "trp" "tyr" "val"
[1] "ala" "arg" "asn" "asp" "cys" "gln" "glu" "gly" "his" "ile" "leu" "lys" "met"
[14] "phe" "pro" "ser" "thr" "trp" "tyr" "val"
[1] TRUE
```

3. La même pondération a-t-elle bien été utilisée pour les deux analyses ?

```
      ala      arg      asn      asp      cys      gln      glu
0.09617700 0.05809748 0.03864776 0.05407313 0.01129983 0.04327407 0.06172224
      gly      his      ile      leu      lys      met      phe
0.07574649 0.02304854 0.05778612 0.10206173 0.04580907 0.02746988 0.03758134
      pro      ser      thr      trp      tyr      val
0.04443389 0.05534971 0.05334662 0.01391267 0.02866343 0.07149900
      ala      arg      asn      asp      cys      gln      glu
0.09617700 0.05809748 0.03864776 0.05407313 0.01129983 0.04327407 0.06172224
      gly      his      ile      leu      lys      met      phe
0.07574649 0.02304854 0.05778612 0.10206173 0.04580907 0.02746988 0.03758134
      pro      ser      thr      trp      tyr      val
0.04443389 0.05534971 0.05334662 0.01391267 0.02866343 0.07149900
[1] TRUE
```

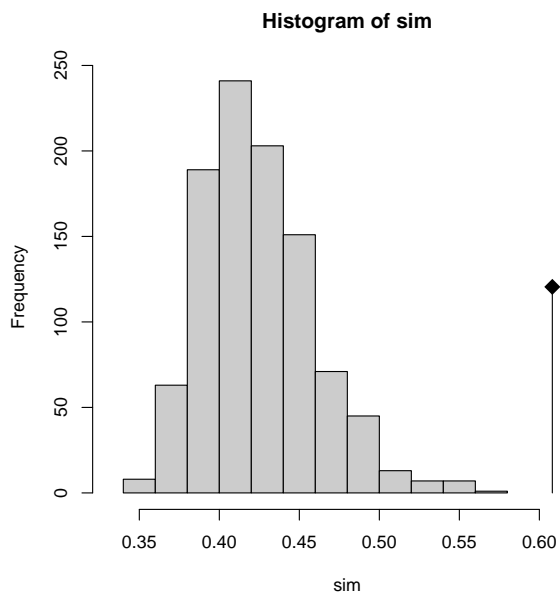
Faire l'analyse de co-inertie des deux tableaux :

```
cia <- coinertia(dudiX = pca, dudiY = coa, scannf = FALSE, nf = 2)
```

Tester la significativité de la co-structure entre les deux tables :

```
ciatest <- randtest(cia, nrepet = 999, fixed = 2)
Warning: non uniform weight. The results from permutations
are valid only if the row weights come from the fixed table.
The fixed table is table Y : ProtComp
```

```
plot(ciatest)
```



Le test est basé sur la comparaison entre la valeur de la co-inertie totale, le coefficient RV entre les deux table :

```
cia$RV
[1] 0.6081122
```

et la distribution empirique du coefficient RV quand on détruit la co-structure entre les deux tables en permutant les lignes de l'une (c'est l'histogramme ci-dessus). Le nombre de permutations est contrôlé par le paramètre `nrepet`, la table dont on ne permute pas les lignes par le paramètre `fixed`. Il doit s'agit de la table qui a fourni les pondérations des lignes, ici la table des fréquences des acides aminés `ProtComp`.

Il y a donc ici une co-structure très significative entre les deux tables. Donner la liste des indices qui contribuent le plus à la définition du premier facteur :

```
cia$co[order(cia$co[,1]), 1, drop = FALSE][1:10, , drop = FALSE]
      Comp1
GRAR740102 -0.1185902
PRAM900101 -0.1164040
OOBM770101 -0.1163041
MEIH800102 -0.1156226
ROSM880102 -0.1156093
WOEC730101 -0.1153977
ROSM880101 -0.1149005
HOPT810101 -0.1142365
VHEG790101 -0.1132352
WOLS870101 -0.1120542

cia$co[rev(order(cia$co[,1])), 1, drop = FALSE][1:10, , drop = FALSE]
      Comp1
DESM900102 0.1212092
NAKH900110 0.1196475
MEIH800103 0.1181477
BIOV880102 0.1170724
EISD860103 0.1169063
JANJ780102 0.1162511
FAUJ830101 0.1153082
KYTJ820101 0.1152559
BIOV880101 0.1138223
ROSG850102 0.1135967

aaindex[["DESM900102"]$D
[1] "Average membrane preference: AMP07 (Degli Esposti et al., 1990)"
```

En vous aidant de la signification des indices physico-chimiques, donner une interprétation biologique du premier facteur de l'analyse de co-inertie.

Références

- [1] D. Chessel, A.-B. Dufour, and J. Thioulouse. The ade4 package-I- One-table methods. *R News*, 4 :5–10, 2004.
- [2] D. Chessel and P. Mercier. Couplage de triplets statistiques et liaisons espèces-environnement. In J.D. Lebreton and B. Asselain, editors, *Biométrie et Environnement*, pages 15–44. Masson, Paris, 1993.
- [3] S. Dolédec and D. Chessel. Co-inertia analysis : an alternative method for studying species-environment relationships. *Freshwater Biology*, 31 :277–294, 1994.
- [4] S. Dray, D. Chessel, and J. Thioulouse. Co-inertia analysis and the linking of ecological tables. *Ecology*, 84(11) :3078–3089, 2003.
- [5] S. Kawashima and M. Kanehisa. AAindex : amino acid index database. *Nucleic Acids Res.*, 28 :374–374, 2000.
- [6] J.R. Lobry and C. Gautier. Hydrophobicity, expressivity and aromaticity are the major trends of amino-acid usage in 999 *Escherichia coli* chromosome-encoded genes. *Nucleic Acids Research*, 22 :3174–3180, 1994.
- [7] K. Nakai, A. Kidera, and M. Kanehisa. Cluster analysis of amino acid indices for prediction of protein structure and function. *Protein Eng.*, 2 :93–100, 1988.
- [8] L. Rosso, J.R. Lobry, and J.-P. Flandrois. An unexpected correlation between cardinal temperatures of microbial growth highlighted by a new model. *Journal of Theoretical Biology*, 162(4) :447–463, 1993.
- [9] J. Thioulouse and J.R. Lobry. Co-inertia analysis of amino-acid physico-chemical properties and protein composition with the ADE package. *Computer Applications in the Biosciences*, 11 :321–329, 1995.
- [10] K. Tomii and M. Kanehisa. Analysis of amino acid indices and mutation matrices for sequence comparison and structure prediction of proteins. *Protein Eng.*, 9 :27–36, 1996.
- [11] F. Torre and D. Chessel. Co-structure de deux tableaux totalement appariés. *Revue de Statistique Appliquée*, 43 :109–121, 1994.
- [12] J. Verneaux. Cours d'eau de franche-comté (massif du jura). recherches écologiques sur le réseau hydrographique du doubs. essai de biotypologie. Thèse d'état, besançon, 1973.